

بررسی آزمایشگاهی مشخصات جریان در دریچه‌های کشویی با لبه استوانه‌ای و نیم استوانه‌ای*

محمد نوراللهی^(۱) علی‌نقی ضیایی^(۲) علی‌اصغر بهشتی^(۳)

چکیده دریچه‌های کشویی از جمله پرکاربردترین سازه‌ها برای کنترل سطح آب و دبی جریان در کانال‌های روباز هستند. با این وجود دریچه‌های کشویی لبه‌تیز، ضریب فشردگی حدود ۰/۶ دارند که ظرفیت دبی آنها را محدود می‌نماید. بررسی آزمایشگاهی عملکرد هیدرولیکی دریچه تلفیقی از دریچه کشویی و دریچه طبلی در این پژوهش انجام شده است. نتایج نشان داد که در دریچه کشویی با لبه استوانه‌ای ضریب فشردگی تا نزدیک ۱/۰ افزایش می‌یابد، این امر به دلیل تأثیر استوانه بر خطوط جریان است. همچنین در شرایط یکسان آزمایش، جریان در پایین دست دریچه کشویی استوانه‌ای با عمق پایاب بیشتری نسبت به دریچه لبه‌تیز در حالت آزاد باقی می‌ماند. به طوری که برای دامنه نسبت بار آبی بالادست به بازشدگی دریچه از ۴ تا ۱۸، نسبت عمق پایاب ماکزیمم به بازشدگی دریچه به ترتیب برای دریچه استوانه‌ای با قطر ۶۳ میلی‌متر تا ۱۶ درصد و برای دریچه‌های استوانه‌ای با قطرهای ۹۰، ۱۲۵ و ۲۰۰ میلی‌متر تا ۲۲ درصد نسبت به دریچه کشویی لبه‌تیز افزایش می‌یابد. این قابلیت یک مزیت مهم برای این‌گونه دریچه‌ها محسوب می‌شود چرا که با جلوگیری از استغراق جریان باعث جلوگیری از افزایش بار آبی بالادست می‌شود و امکان سرریز شدن در قسمت بالادست دریچه کاهش می‌یابد که این امر خود باعث جلوگیری از اتلاف آب می‌شود. علاوه بر این روابطی برای تشخیص شرایط جریان آزاد و مستغرق در دریچه‌های کشویی استوانه‌ای و نیم‌استوانه‌ای با دقت بالا ارائه شد.

واژه‌های کلیدی دریچه کشویی لبه‌تیز، دریچه طبلی، ضریب فشردگی.

Experimental Study of Flow Characteristics in Sluice Gates with Cylindrical Edges and Half-Cylindrical Edges

M. Nourollahi

A.N. Ziaei

A.A. Beheshti

Abstract Sluice gates are widely used for water level control and flow measurement in open channels. The sharp edge of sluice gates causes low contraction coefficient (C_c) and limited flow rate capacity. Here, the performance of a new sluice gate which is consisted of a sharp-edged sluice gate and a drum gate (a sluice gate with a cylindrical end) is experimentally evaluated. Since the streamline leaves the gate more smoothly, C_c is considerably increased. i.e., from 0.6 in sharp edged gates reached to 1.0 in cylindrical-edged gates. Moreover for a given upstream depth, this gate was less likely to become submerged compared to an equivalent sharp edged sluice gate. For upstream water depth of gate to opening of gate (H_0/W) in range 4-18, tailwater depth to opening of gate (y_t/W) increased up to 22 percent for drum diameter of 63, 90, 125 and 200 mm. This feature obviates the need to increase the free board height in the upstream channel and refrains from upstream overflow whenever unexpected downstream tail water rise occurs. Moreover, distinguishing condition curves for these gates were obtained.

Key Words Contraction Coefficient, Drum Gate, Sharp-Edge Sluice Gate.

* تاریخ دریافت مقاله ۹۴/۲/۴ تاریخ پذیرش آن ۹۵/۳/۳۱ می باشد.

(۱) کارشناسی ارشد سازه‌های آبی، دانشکده کشاورزی، دانشگاه فردوسی مشهد.

(۲) نویسنده مسئول: دانشیار، گروه مهندسی آب، دانشکده کشاورزی، دانشگاه فردوسی، مشهد.

Email: An_ziaei@yahoo.com

(۳) استادیار، گروه مهندسی آب، دانشکده کشاورزی، دانشگاه فردوسی، مشهد.

مقدمه

دریچه‌ها از پرکاربردترین سازه‌های آبی در شبکه‌های توزیع هستند که به منظور ارسال و تحویل آب به نقاط ازپیش تعیین شده و یا به منظور سازه کنترل جریان دبی و یا سطح آب استفاده می‌شوند. از جمله پرکاربردترین دریچه‌ها می‌توان به دریچه‌های کشویی لبه‌تیز و دریچه‌های قطاعی اشاره نمود که باتوجه به شرایط حاکم در محل و هم‌چنین هدف مورد نظر می‌توان از آنها استفاده نمود. تعیین روابط حاکم بر این سازه‌ها می‌تواند باعث بهبود عملکرد سیستم‌های شبکه مجاری روباز توزیع آب شود و در نتیجه مانع از اتلاف آب گردد.

جریان عبوری از دریچه باتوجه به عمق پایاب می‌تواند آزاد و یا مستغرق باشد و ضریب دبی نیز برای این دو حالت متفاوت است. میزان دبی عبوری از دریچه فقط تحت تأثیر بار آبی بالادست نیست [2,1]. به منظور تعیین دقیق دبی عبوری از دریچه می‌بایست پارامترهای تأثیرگذار و هم‌چنین شرایط تغییر جریان از آزاد به مستغرق شناخته شود. از جمله مهم‌ترین پارامترهای تأثیرگذار بر مشخصات جریان عبوری در دریچه‌ها، ضریب فشردگی است. ضریب فشردگی بر ضریب دبی و در نتیجه بر میزان دبی عبوری از دریچه و هم‌چنین میزان افت جریان تأثیر به‌سزایی دارد [3]. ضریب فشردگی برای دریچه‌های کشویی لبه‌تیز به‌طور گسترده توسط محققان مختلف مورد بررسی و آزمایش قرار گرفته است. ضریب فشردگی تابعی از میزان بازشدگی دریچه، بار آبی بالادست دریچه و شکل دریچه است. برای دریچه کشویی لبه‌تیز این مقدار توسط هنری ۰/۶ و توسط هندرسون، راجاراتنام و سوبرامانیا ۰/۶۱ توصیه شده است [2,1]. هندرسون [1] دامنه تغییر این ضریب را از ۰/۶۱ تا ۱ برای دریچه‌های قطاعی باتوجه به زاویه تشکیل شده بین انتهای دریچه و جریان اعلام کرد که مقدار ۱ مربوط به زاویه صفر می‌باشد. مونت [4] دامنه

۰/۶۰ تا ۰/۷۵ را برای ضریب فشردگی در دریچه کشویی باتوجه به زاویه خطوط جریان با افق پیشنهاد نمود. تل [5] ضخامت مقطع فشردگی در دریچه‌های قطاعی را در ابتدای استغراق به دلیل فشار آب وارد بر آن مقطع دانست. بلا و همکارانش [3] به مطالعه ضریب فشردگی دریچه کشویی در بستر صاف برای دو جریان آزاد و مستغرق بر پایه قوانین مومتم پرداختند. آنها دریافتند ضریب فشردگی با میزان بازشدگی دریچه و نسبت استغراق، مخصوصاً در بازشدگی‌های زیاد، متغیر است. هم‌چنین در بازشدگی‌های کم، مقدار ضریب فشردگی را در حالات آزاد و مستغرق نزدیک به هم یافتند در حالی که در بازشدگی‌های زیاد عکس این حالت گزارش شده است. محمدی و بیرامی [۶] به ارائه یک معادله نیمه‌تئوری برای تخمین ضریب فشردگی (C_c) دریچه کشویی پرداختند. باتوجه به معادله انرژی بین مقاطع قبل و بعد از دریچه و پدیده افزایش هد فشار در اثر پروفیل سطح آب پس از دریچه، معادله‌ای برای ضریب دبی ارائه نمودند. برای واسنجی معادله پیشنهادی از داده‌های آزمایشگاهی استفاده شد که خطای مطلق متوسط را تا کمتر از ۳ درصد کاهش داده است. میانگین خطای مطلق تخمین ضریب فشردگی نیز برابر ۲/۹۴ درصد و میانگین خطای مطلق تخمین دبی جریان در دریچه کشویی برای داده‌های آزمایشگاهی برابر ۲/۶۳ و برای داده‌های میدانی ۱/۹۲ درصد بوده است.

باتوجه به تفکیک روش‌های تعیین میزان دبی عبوری از دریچه‌ها در دو حالت آزاد و مستغرق، تشخیص شرایط جریان از نظر آزاد یا مستغرق بودن و یا حالت بینابین، حائز اهمیت است. بدین منظور منحنی تشخیص شرایط جریان، ابزاری مفید و کاربردی برای تشخیص شرایط جریان است. زمانی که پرش هیدرولیکی بعد از دریچه بلافاصله بعد از آن تشکیل می‌شود، شرایط جریان آزاد است. با افزایش عمق پایاب، پرش هیدرولیکی به طرف دریچه حرکت می‌کند

ارائه نمود. برای شرایط مستغرق، ضریب دبی زمانی که بارآبی بالادست برابر با عمق پایاب باشد، برابر با صفر است. افزایش در بار آبی بالادست به مقداری که از عمق پایاب بیشتر باشد باعث می شود که ضریب دبی از صفر بیشتر باشد. در نهایت معادله های (۲) و (۳) را به ترتیب برای تشخیص جریان مستغرق و آزاد ارائه نمود.

$$Y_t < H_0 < \frac{0}{81Y_t \left(\frac{Y_t}{w}\right)^{7/2}} \quad (2)$$

$$H_0 \geq 0/81Y_t \left(\frac{Y_t}{w}\right)^{0/72} \quad (3)$$

که در آنها Y_t عمق پایاب است. معادله (۳) از رسم مقادیر $\frac{H_{0max}}{w}$ و $\frac{Y_t}{w}$ در محورهای لگاریتمی به وسیله رگرسیون به دست آمده است.

ین و همکاران [9] به تحقیق بر روی مشخصه های مختلف دریاچه های کشویی قائم در کانال مستطیلی با بستر هموار و افقی پرداختند و معادلاتی برای ضریب دبی، اعماق مستغرق، بیشترین بازشدگی مجاز دریاچه و شرایط تشخیص جریان آزاد از جریان مستغرق بعد از دریاچه استخراج کردند و معادله (۴) را برای تشخیص آزاد و یا مستغرق بودن شرایط جریان ارائه کردند و دریافتند که خطای معادله پیشنهادی زمانی که $\frac{H_0}{b}$ بیشتر از ۳ باشد، بین ۲/۵- تا ۳/۲+ خواهد بود.

$$\frac{Y_{tmax}}{C_{cb}} = 0/5 \left(\sqrt{1 + \frac{16}{\frac{C_{cb}}{H_0} \left(1 + \frac{C_{cb}}{H_0}\right)}} - 1 \right) \quad (4)$$

که در آن b عرض کانال و Y_{tmax} حداکثر عمق پایاب مربوط به زمانی است که جریان آزاد پس از دریاچه تشکیل شود. آنها هم چنین دریافتند که برای $\frac{H_0}{w}$ کمتر از ۱/۸ جریان به راحتی امکان استغراق را دارد و کنترل دبی جریان امکان پذیر نیست.

لین و همکاران [10] برای تعیین حداکثر عمق پایاب که تمایز بین حالت پرش مستغرق و آزاد

و زمانی که بار آبی بالادست دریاچه متأثر از عمق پایاب گردد، شرایط مستغرق ایجاد می گردد. بیشترین مقدار عمق پایاب متناظر با یک بار آبی بالادست که باعث ایجاد جریان آزاد می شود نمایانگر مؤلفه های منحنی تشخیص جریان است.

بس [7] معادله ای برای تشخیص جریان از نظر آزاد و یا مستغرق بودن در پشت دریاچه کشویی لبه تیز با در نظر گرفتن معادله عمق مزدوج پرش و ضریب فشردگی بعد از دریاچه ارائه نمود. وی اعلام کرد که اگر عمق اولیه پرش در ناحیه فشردگی در نظر گرفته شود، زمانی جریان پس از دریاچه آزاد خواهد بود که عمق ثانویه پرش از مقداری که از معادله عمق مزدوج به دست می آید بیشتر نشود. وی معادله (۱) را برای بیان شرایط جریان آزاد ارائه نمود.

$$\frac{Y_2}{w} < \frac{C_c}{2} \left[\sqrt{\left(1 + 16\left(\frac{H_0}{C_{cw}} - 1\right)\right)} - 1 \right] \quad (1)$$

که در آن H_0 بارآبی بالادست دریاچه، Y_2 عمق ثانویه پرش بعد از دریاچه، w بازشدگی دریاچه و C_c ضریب فشردگی بعد از دریاچه است. وی در نهایت با در نظر گرفتن ضریب فشردگی برابر با ۰/۶۱۱، نموداری را به عنوان منحنی تشخیص جریان برای دریاچه کشویی ترسیم نمود.

سوامی [8] معادله ای برای تعیین ضریب دبی با استفاده از منحنی های ترسیم شده ارائه نمود. این منحنی ها بیان کننده رابطه بین ضریب دبی و نسبت عمق بالادست دریاچه به بازشدگی دریاچه هستند. با توجه به این که نمودارهای ارائه شده تا آن زمان قابل استفاده برای هر روش تحلیلی و عددی برای کنترل جریان و تعیین پروفیل سطح آب نبودند، وی تلاش نمود تا روابط ریاضی برای نمودارهای گرافیکی موجود پیشنهاد دهد. وی معادله ای با دقت بالا برای تعیین ضریب دبی برای جریان آزاد و مستغرق به همراه معیاری برای تشخیص آزاد و یا مستغرق بودن جریان تشکیل شده بعد از دریاچه

توسط فرو (۲۰۰۰) ارائه شد پرداختند. آنها با نرمال‌سازی و بی‌بعدسازی معادلات روش انرژی-مومنتم، دو روش بی‌بعد دبی-اشل و روش انرژی-مومنتم را مورد ارزیابی قرار دادند. آنها دریافتند روش انرژی-مومنتم قادر به محاسبه دبی حتی در حالت انتقالی بین شرایط آزاد و مستغرق است در حالی که روش بی‌بعد فرو دارای این مزیت نیست. آنها سپس با استفاده از روش انرژی-مومنتم و برابر دانستن انرژی آبی بالادست دریچه در معادلات آزاد و مستغرق، در حالت انتقالی شرایط جریان بعد از دریچه بین آزاد و مستغرق، معادله‌ای برای تشخیص شرایط جریان ارائه نمودند. از دیگر مزایای معادله ارائه شده توسط آنها می‌توان به این امر اشاره کرد که عرض کانال در محل دریچه و پایین دست آن می‌تواند برابر نباشد.

شرایط جریان آزاد، زمانی که پرش هیدرولیکی تشکیل شده بعد از دریچه در فاصله‌ای از دریچه قرار دارد، برای تعیین دبی مورد استفاده قرار می‌گیرد. با افزایش عمق پایاب، شرایط جریان به حالت مستغرق نزدیک می‌شود. می‌توان فرض نمود که دقیقاً در آستانه تبدیل شرایط جریان از آزاد به مستغرق، معادله‌های موجود برای تعیین دبی برای هر دو حالت باید دارای جواب یکسانی باشند. با توجه به فرض بیان شده، می‌توان از آن برای تعیین روابطی برای تشخیص شرایط جریان استفاده نمود. بر پایه این مفهوم، با برابر قرار دادن روابط تعیین دبی ارائه شده توسط فرو [15] و انصار [16] برای شرایط جریان آزاد و مستغرق، معادله (۷) به عنوان تشخیص شرایط جریان به دست آمد:

$$\frac{Y_t}{w} = \frac{H_0}{w} - \left(\frac{0.83}{1.055}\right) \frac{1}{0.3344} \left(\frac{H_0}{w}\right)^{0.3344} \quad (7)$$

حبیب زاده و همکاران [17]، به معرفی فاکتور افت انرژی در دریچه‌های کشویی لبه‌تیز پرداختند. آنها با حل هم‌زمان دو معادله انرژی و مومنتم برای شرایط مستغرق دریافتند که فاکتور افت انرژی تأثیر به‌سزایی در تخمین میزان جریان عبوری از دریچه دارد و برای دست یافتن

تشکیل شده بعد دریچه را معلوم می‌کند معادله‌ای تئوری ارائه نمودند. آنها تأثیر ضریب فشردگی را بر شرایط تشخیص جریان با توسعه رابطه پرش هیدرولیکی بررسی کردند و معادله ارائه شده را برای دو نوع دریچه استفاده کردند. نتایج آنها نشان داد که تغییر در نوع دریچه باعث تغییر در ضریب فشردگی و شرایط تشخیص جریان آزاد و مستغرق بعد از آن می‌شود. همچنین نتایج آنان نشان داد که برای عمق آب بالادست ثابت، دریچه‌ای که دارای ضریب فشردگی بیشتری باشد، در مقایسه با دریچه کشویی لبه‌تیز کمتر در معرض استغراق قرار می‌گیرد. معادله ارائه شده آنان همانند معادله (۴) بوده است.

اجاراتنام و سورامانیا [2] با در نظر داشتن ضریب فشردگی ۰/۶۱ برای دریچه کشویی لبه‌تیز معادله (۵) را برای تشخیص شرایط جریان ارائه کردند.

$$\frac{(Y_t)}{w} = \frac{C_d}{2} \left(\sqrt{1 + 16 \frac{(H_0/w) - 0/61}{C_d}} - 1 \right) \quad (5)$$

C_d ضریب دبی است که برای محاسبه آن نیز از معادله (۶) استفاده می‌شود.

$$C_d = \frac{0/61}{\sqrt{1 - 0/372 \left(\frac{H_0}{w}\right)^{-2}}} \quad (6)$$

وال و کلمنس [11] از معادله مومنتم برای تشخیص شرایط جریان کمک گرفتند. آنها نیروی مومنتم شرایط آزاد دریچه را با نیروی مومنتم مرتبط با عمق پایاب جریان مورد مقایسه قرار دادند. اگر مومنتم متعلق به پایین دست بزرگ‌تر از مومنتم بالادست جریان باشد، شرایط مستغرق پیش می‌آید، در غیر این صورت شرایط آزاد در نظر گرفته می‌شود. با این حال، بویالسکی [12] و وال و کلمنس [11] هیچ‌کدام منحنی‌ای برای تشخیص شرایط جریان ارائه نمودند.

بیژن خان و همکاران [13] ابتدا به مقایسه روش‌های انرژی-مومنتم که توسط کلمنس و همکارانش [14] ارائه شد و روش بی‌بعد دبی-اشل که

مواد و روش‌ها

روش انجام آزمایش

آزمایش‌های این پژوهش در آزمایشگاه هیدرولیک گروه مهندسی آب دانشگاه فردوسی مشهد در فلوم مستطیلی به طول ۱۰ متر، عرض ۳۰ سانتی‌متر و ارتفاع ۶۶ سانتی‌متر انجام گرفت. آزمایش‌ها برای حالت زیرگذری جریان با تراز کف برابر در بالادست و پایین دست دریچه و مقاطع مستطیلی شکل صورت گرفت. برای تأمین جریان در فلوم از پمپی با حداکثر دبی ۲۵ لیتر بر ثانیه استفاده شد. برای ساخت دریچه از یک صفحه پلکسی گلاس با ضخامت ۸ میلی‌متر و عرضی برابر با عرض فلوم و برای استوانه و نیم‌استوانه‌های به‌کاررفته در انتهای دریچه از لوله‌های پی‌وی‌سی استفاده شده‌است. در این پژوهش در مجموع از نه دریچه که شامل چهار دریچه استوانه‌ای کامل و چهار دریچه نیم‌استوانه با قطرهای ۶۳، ۹۰، ۱۲۵ و ۲۰۰ میلی‌متر و یک دریچه لبه‌تیز بود، استفاده گردید. دریچه‌های موردنظر در این پژوهش در فاصله ۱/۲ متر از ابتدای فلوم نصب شد و هم‌چنین از صفحات آرام‌کننده جریان در ورودی جریان به فلوم نیز استفاده شد. از یک دریچه خوابان در انتهای فلوم به‌منظور تنظیم عمق پایاب استفاده شده‌است. با تنظیم عمق پایاب مکان پرش هیدرولیکی در ناحیه‌ای بلافاصله پس از دریچه‌ها کنترل شد و می‌توان شرایط جریان آزاد و مستغرق را تعیین نمود. پارامترهای اندازه‌گیری شده در آزمایش‌ها عبارتند از، دبی جریان، پروفیل سطح آب در بالادست دریچه، عمق جریان در مقطع فشرده‌گی پس از دریچه، عمق اولیه و ثانویه پرش تشکیل شده در شرایط جریان آزاد و عمق پایاب.

اندازه‌گیری میزان دبی جریان ورودی با استفاده از سرریز مستطیلی واسنجی شده صورت گرفت و با استفاده از دستگاه تنظیم فرکان ابتدا میزان دبی برای هر هرتز به‌دست آمد و سپس برای هر دریچه مورد استفاده قرار گرفت. برای قرائت عمق جریان، از یک عمق‌سنج

به میزان دقیق آن نباید فاکتور افت انرژی را از روابط حذف نمود. آنها هم‌چنین معادله (۸) را برای تشخیص شرایط جریان با در نظر داشتن فاکتور افت انرژی ارائه نمودند.

$$\frac{(Y_t)_{\max}}{b} = 0.5C_c \left(\sqrt{1 + 16(\beta - 1)/(1 + k - \frac{1}{\beta^2})} - 1 \right) \quad (8)$$

که در آن مقادیر β نسبت بار آبی بالادست دریچه به عمق آب در مقطع فشرده‌گی بعد از دریچه، k فاکتور افت انرژی که با توجه به تحقیقات راجاراتنام و سوبرامانیا برابر با ۰/۶۱۱ در نظر گرفته می‌شود.

دریچه‌های موردنظر در این تحقیق همانند دریچه کشویی باز و بسته می‌شود و از نظر ساختار، استوانه‌ای در لبه دریچه کار شده‌است. بدین منظور از دو شکل مختلف در انتهای دریچه استفاده شده‌است که شامل یک نیم‌استوانه در قسمت بالادست دریچه در اندازه‌های مختلف و یک استوانه کامل در انتهای دریچه در اندازه‌های مختلف است. علت استفاده از چنین ترکیبی از دو دریچه ذکر شده، دست‌یافتن به دریچه‌ای است که از نظر ساخت ساده و از نظر هیدرولیکی دارای عملکرد بالایی نسبت به مدل‌های رایج باشد. باید توجه داشت که دریچه مورد استفاده در این پژوهش دارای شکل و ساختاری متفاوت است و در گذشته تحقیقات گسترده‌ای فقط بر روی دریچه‌های رایج کشویی لبه‌تیز و قطاعی انجام شده‌است و روابط زیادی توسط محققان در زمینه ضریب فشرده‌گی، کنترل جریان و معادلاتی برای تخمین دبی عبوری در آنها ارائه شده‌است.

در این تحقیق سعی شده تا با تلفیق هندسه دودریچه کشویی لبه‌تیز و دریچه طبلی، دریچه‌ای کشویی با لبه استوانه‌ای که دارای عملکرد مطلوب‌تری است، معرفی شود. هم‌چنین بررسی تأثیر کمی استوانه‌های به‌کاررفته در لبه دریچه بر روی رژیم جریان از قبیل ضریب فشرده‌گی و ضریب دبی و منحنی تشخیص شرایط جریان از اهداف پژوهش است.

و عمق آب در مقطع فشرده‌گی پس از دریچه شد. پس از آن دریچه خوابان به نحوی تنظیم شد که پرش هیدرولیکی بلافاصله بعد از دریچه تشکیل شود و عمق اولیه پرش هیدرولیکی برابر با عمق آب در مقطع فشرده‌گی بعد از دریچه باشد و تأثیری بر بار آبی بالادست دریچه نداشته باشد. در نهایت پس از گذشت زمانی که موجب تثبیت جریان شد، برداشت داده‌های مربوط به پرش هیدرولیکی و عمق پایاب صورت گرفت. شکل‌های (۱) و (۲) نمایی از دریچه‌های نیم‌استوانه‌ای و استوانه‌ای کامل در حال آزمایش را نشان می‌دهد.

به صورت ریلی و با دقت $\pm 0/1$ میلی‌متر استفاده گردید. آزمایش‌ها در دو بازدهی مختلف برای دریچه‌ها انجام شد. دامنه تغییرات دبی و متناسب با آن ارتفاع آب در مخزن برای آزمایش‌های انجام شده به شرح جدول شماره (۱) است. که در جدول شماره (۱)، Q میزان دبی عبوری بر حسب لیتر و D قطر استوانه به کاررفته در دریچه‌های کشویی استوانه‌ای و نیم‌استوانه‌ای است.

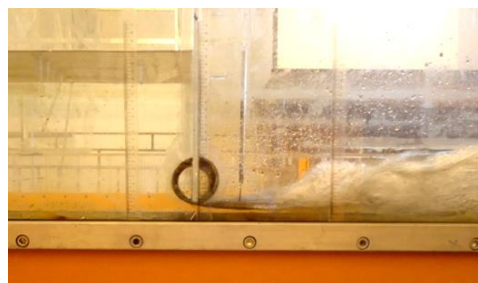
برای هر آزمایش ابتدا بازدهی دریچه تنظیم شد و دریچه خوابان در انتهای فلوم به طور کامل خوابانده شد تا تأثیری بر جریان نداشته باشد. سپس پمپ راه‌اندازی شد و پس از تثبیت و توسعه یافتگی جریان، اقدام به برداشت پروفیل سطح بالادست دریچه

جدول ۱ محدوده تغییرات کلیه پارامترها در آزمایش‌های مختلف

W(cm)	Q(lit/s)	H ₀ (cm)	Y _t (cm)	D(mm)	نوع دریچه
2/5-3/5	6-25	7/3-45	9-23	63-200	کشویی با لبه نیم‌استوانه‌ای
2/5-3/5	6/7-25	6/8-45	7/7-24/5	63-200	کشویی با لبه استوانه کامل
2/5-3/5	4/5-20	7/4-45	3-20/5	-	کشویی لبه تیز



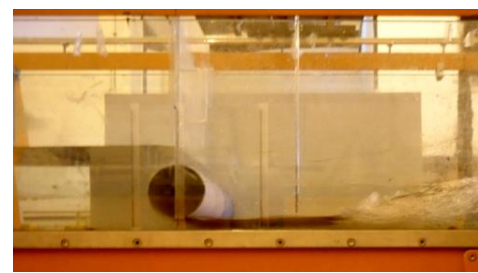
(ب)



(الف)



(ت)

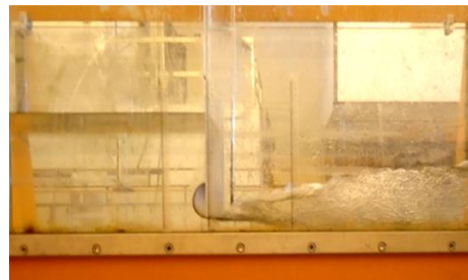


(پ)

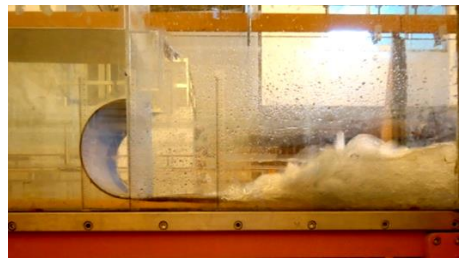
شکل ۱ نمایی از دریچه‌های استوانه‌ای کامل در حال آزمایش، شکل‌های (الف) و (ب) و (پ) و (ت) به ترتیب دریچه کشویی استوانه‌ای کامل با قطر ۶۳ و ۹۰ و ۱۲۵ و ۲۰۰ میلی‌متر



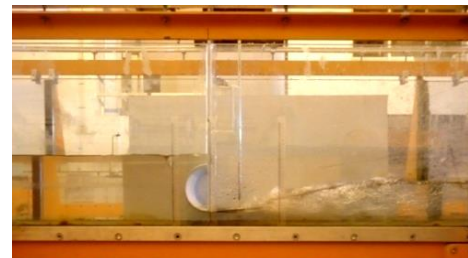
(ب)



(الف)



(ت)



(پ)

شکل ۲ نمایشی از دریچه‌های نیم‌استوانه‌ای در حال آزمایش، شکل‌های (الف) و (ب) و (پ) و (ت) به ترتیب دریچه کشویی نیم‌استوانه‌ای با قطر ۶۳ و ۹۰ و ۱۲۵ و ۲۰۰ میلی‌متر

$$F(\rho, \mu, H_0, y_1, y_t, V_1, g, D, w) = 0 \quad (10)$$

تعداد کمیت‌های مذکور برابر (n=9) می‌باشد. از طرفی هر سه نوع کمیت هندسی، سینماتیکی و دینامیکی در بین کمیت‌های فوق وجود دارد (m=3). در نتیجه براساس نظریه π باکینگهام، ۶ پارامتر بدون بعد استخراج می‌شود. هر کمیت بی‌بعد را می‌توان به‌عنوان یک π_i فرض کرد، در نتیجه:

$$\pi_1 = \frac{y_t}{w}, \pi_2 = \frac{D}{w}, \pi_3 = \frac{y_1}{w} = C_c$$

$$\pi_4 = \frac{H_0}{w}, \pi_5 = Fr, \pi_6 = Re$$

(۱۱)

پس از بررسی آنالیز ابعادی انجام شده و با استفاده از ترکیب اعداد بی‌بعد به دست آمده، اعداد بی‌بعد مناسبی برای نمایش منحنی تشخیص جریان به دست آمد که عبارتند از $\pi_1 = \frac{y_1}{w}$ و $\pi_4 = \frac{H_0}{w}$ است که π_1 و π_4 اعداد بی‌بعد می‌باشند. هم‌چنین ین و همکاران [9]، لین و همکاران [10] و بیژن خان و همکاران [13] نیز از این اعداد بی‌بعد برای بررسی منحنی‌های تشخیص شرایط جریان آزاد و مستغرق در دریچه‌ها بهره برده‌اند.

آنالیز ابعادی

باتوجه به بررسی هر پدیده فیزیکی می‌توان تحلیل ابعادی را باتوجه به پارامترهای مهم در آن پدیده بررسی و تحلیل نمود. در نتیجه خواهیم داشت:

$$F(\rho, \mu, H_0, y_1, y_t, V_1, g, D, b, w, C, g) = 0 \quad (9)$$

که در این رابطه، جرم حجمی سیال (ρ)، لزجت دینامیکی سیال (μ)، عمق جریان بالادست دریچه (H_0)، عمق آب در مقطع فشردگی (y_1)، عمق آب پایاب (y_t)، سرعت جریان (سرعت جریان در مقطع تنگ‌شدگی) (V_1)، شتاب ثقل (g)، قطر استوانه لبه دریچه (D)، عرض کانال (b)، بازشدگی دریچه کشویی (w)، فرم هندسی مقطع آبراهه (C, G) می‌باشد. باتوجه به این موضوع که عرض آبراهه (b) و فرم هندسی مقطع آبراهه مستطیلی (C, G)، در تمام آزمایش‌ها ثابت خواهد بود، در نتیجه از تأثیر این پارامترها به‌عنوان پارامترهای ثابت آزمایشگاهی می‌توان صرف‌نظر نمود. بنابراین رابطه تابعی (۹) را می‌توان به‌صورت زیر تغییر داد:

گردید. در شکل‌های (۳) و (۴) که به ترتیب مربوط به دریچه‌های کشویی نیم‌استوانه‌ای و دریچه‌های کشویی استوانه‌ای کامل است، ضرایب دبی در مقابل نسبت بارآبی بالادست به بازشدگی دریچه نشان داده شده است. باتوجه به شکل‌های (۳) و (۴) ضریب دبی تا حداکثر برای دریچه‌های کشویی با لبه نیم‌استوانه‌ای با قطرهای ۶۳، ۹۰، ۱۲۵ و ۲۰۰ درمقایسه با دریچه‌های کشویی لبه تیز به ترتیب ۰.۴۱٪، ۰.۶۰٪، ۰.۵۳٪ و ۰.۵۱٪ افزایش یافته‌است. و برای دریچه‌های کشویی با لبه استوانه‌ای کامل با قطرهای ۶۳، ۹۰، ۱۲۵ و ۲۰۰ درمقایسه با دریچه‌های کشویی لبه تیز به ترتیب ۰.۳۴٪، ۰.۵۶٪، ۰.۴۵٪ و ۰.۵۹٪ افزایش یافته‌است.

نتایج و بحث

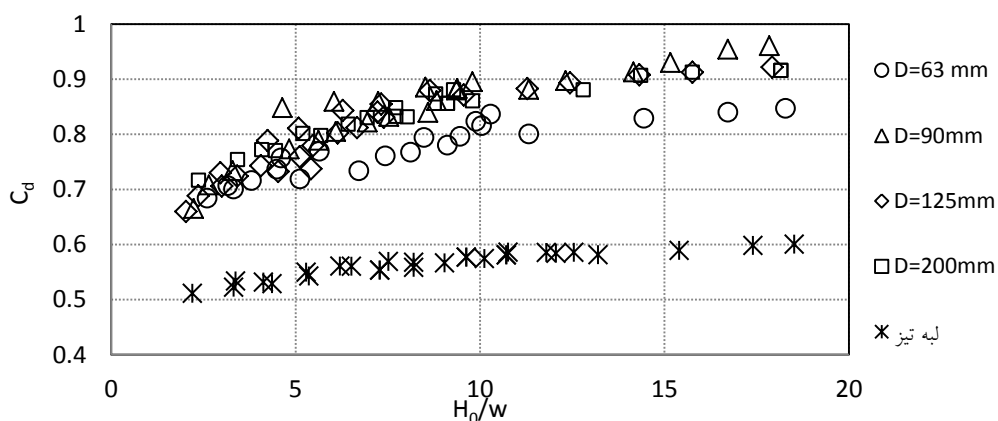
ظرفیت دبی عبوری

برای بررسی ظرفیت دبی عبوری و مقایسه آن بین دریچه کشویی لبه تیز و دریچه‌های کشویی با لبه استوانه‌ای از رابطه مرسوم دبی عبوری [۱۸] از دریچه‌ها استفاده شد.

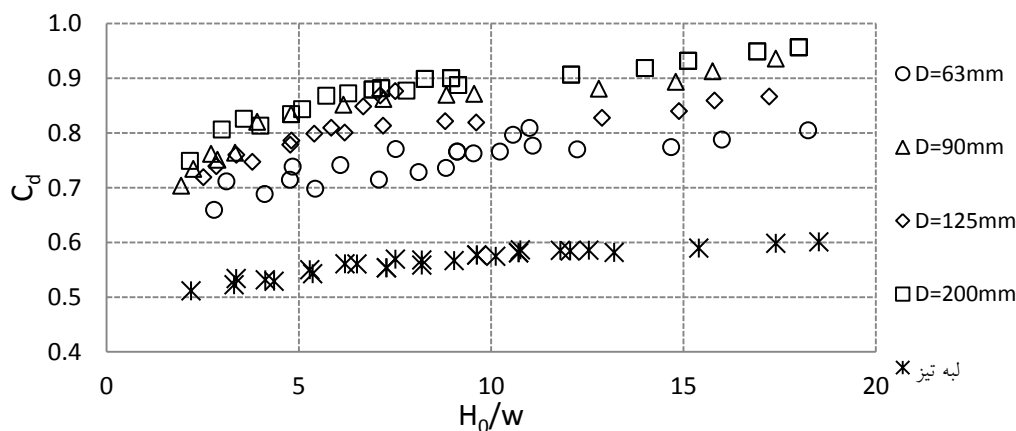
$$q = C_d w \sqrt{2gH_0} \quad (12)$$

که در آن C_d ضریب دبی، q دبی در واحد عرض دریچه می‌باشد. ضریب دبی تابعی از بارآبی بالادست دریچه، بازشدگی دریچه و عمق پایاب است.

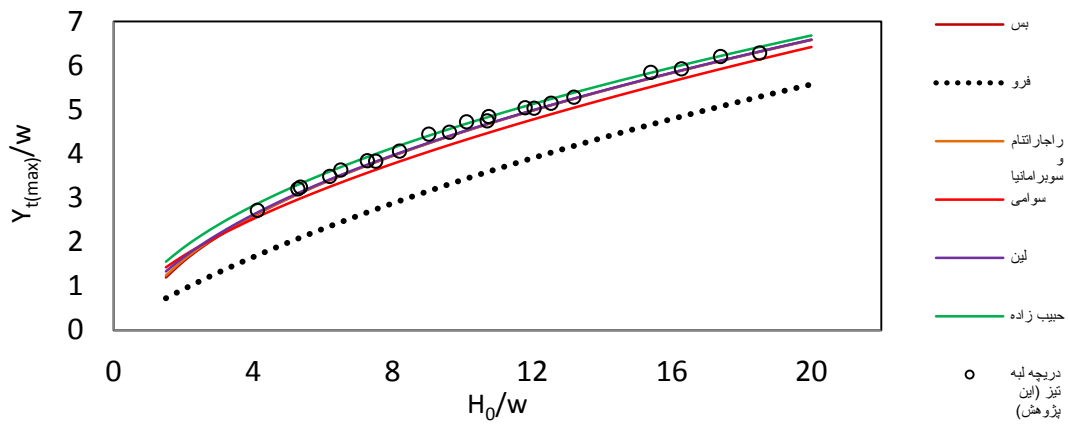
در ادامه ضرایب دبی برای دریچه‌های کشویی نیم‌استوانه‌ای و دریچه‌های کشویی استوانه‌ای کامل محاسبه شد و در برابر دریچه کشویی لبه تیز ترسیم



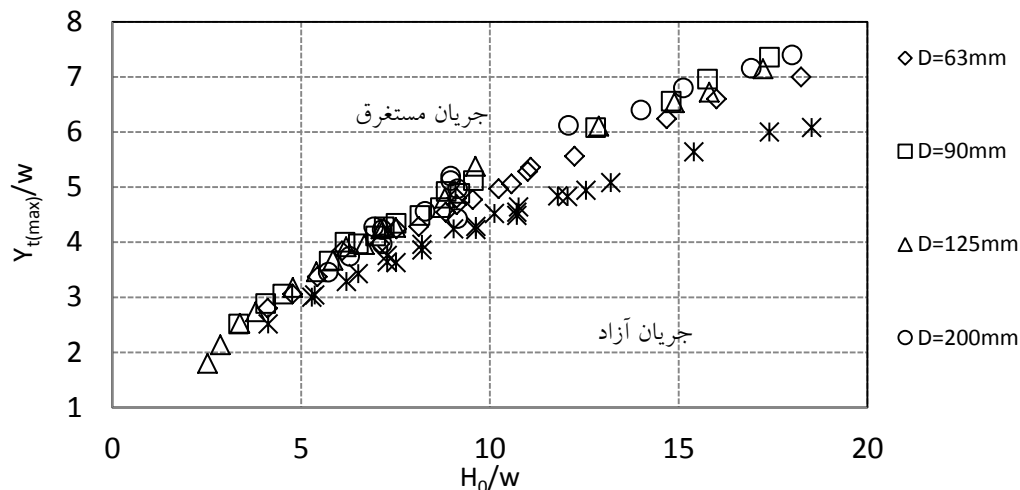
شکل ۳ تغییرات ضریب دبی در دریچه‌های کشویی نیم‌استوانه‌ای و دریچه لبه تیز در شرایط جریان آزاد



شکل ۴ تغییرات ضریب دبی در دریچه‌های کشویی استوانه‌ای کامل و دریچه لبه تیز در شرایط جریان آزاد



شکل ۵ منحنی تشخیص جریان در دریچه کشویی لبه تیز



شکل ۶ مقایسه منحنی شرایط جریان برای دریچه‌هایی با لبه استوانه‌ای کامل و دریچه لبه تیز

را عدم توانایی تخمین آستانه تبدیل جریان از آزاد به مستغرق توسط معادله فرو [15] بیان نموده‌اند. به عبارت دیگر روابط فرو برای حالتی با استغراق کم قادر به تخمین دقیق دبی نیست. لازم به ذکر است که معادله فرو (معادله ۷) از ترکیب دو معادله بی‌بعد دبی-اشل برای حالات آزاد و مستغرق به دست آمده‌است. همان‌طور که از شکل (۵) مشخص است، داده‌های آزمایشگاهی برداشت شده تطابق قابل قبولی با روابط ارائه شده دارد، در نتیجه روش و داده‌های برداشت شده قابل اطمینان هستند و از همین روش برای برداشت داده‌های دیگر دریچه‌های کشویی استوانه‌ای و

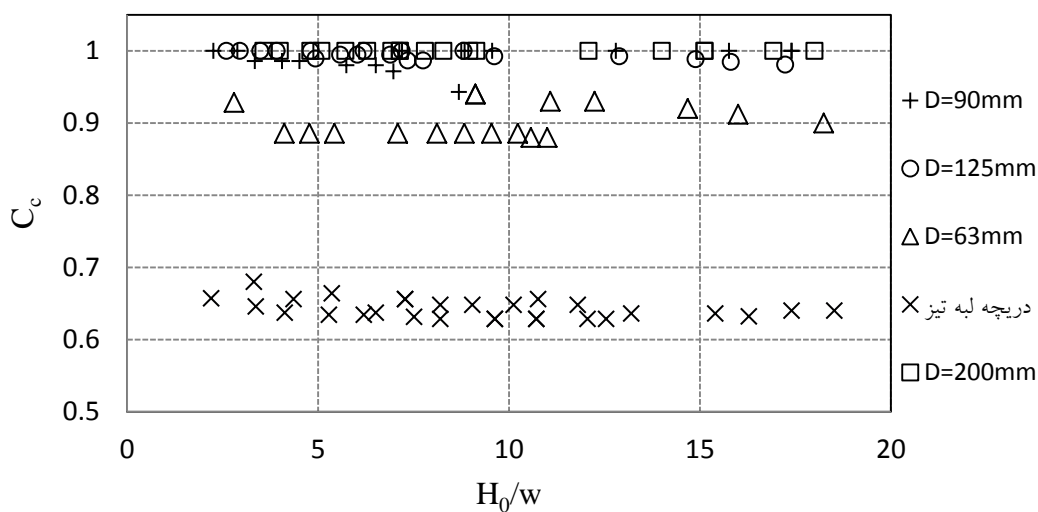
برای بررسی از صحت روش و داده‌های برداشت شده در آزمایشگاه، به مقایسه نتایج آزمایش‌های مربوط به دریچه کشویی لبه تیز با تحقیقات قبلی پرداخته می‌شود. در شکل (۵) منحنی‌های تشخیص شرایط جریان (آزاد یا مستغرق) با داده‌های آزمایشگاهی مقایسه شده‌اند. در این شکل منحنی‌ها برحسب نسبت بیشترین عمق پایاب به بازشدگی دریچه (محور عمودی) و نسبت بار آبی بالادست به بازشدگی دریچه (محور افقی) رسم شده‌اند. با توجه به شکل (۵)، معادله ارائه شده توسط فرو [15] با دیگر روابط اختلاف زیادی دارد که بیژن‌خان و کوچک‌زاده [19] دلیل این اختلاف

نیم‌استوانه‌ای استفاده می‌شود.

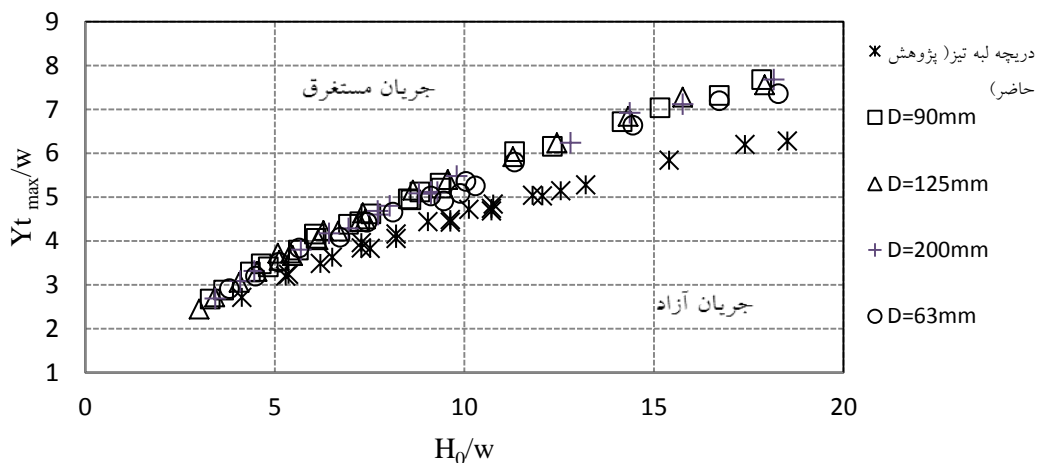
کاهش می‌یابد.

شکل (۶) منحنی تشخیص جریان را برای دریچه لبه‌تیز و دریچه‌هایی با لبه‌استوانه‌ای کامل مقایسه می‌کند. باتوجه به شکل (۶) می‌توان استنتاج نمود که دریچه‌هایی با لبه‌استوانه‌ای کامل درمقایسه با دریچه لبه‌تیز، با نسبت بارآبی به بازشدگی برابر، حتی با عمق پایاب بیشتر قادر به آزاد نگه داشتن شرایط جریان می‌باشند (به عبارت دیگر، در یک نسبت عمق پایاب به بازشدگی مشخص، با وجود این‌که جریان در دریچه کشویی لبه‌تیز مستغرق است، در دریچه‌های کشویی با لبه‌استوانه‌ای جریان آزاد برقرار است). برای دامنه نسبت بار آبی بالادست دریچه به بازشدگی دریچه (H_0/W) از ۴ تا ۱۸، نسبت ماکزیمم عمق پایاب به‌ازای جریان آزاد به بازشدگی دریچه $(Y_{t(max)}/W)$ به‌ترتیب برای دریچه استوانه‌ای با قطر ۶۳ میلی‌متر تا ۱۶ درصد و برای دریچه‌های استوانه‌ای با قطرهای ۹۰، ۱۲۵ و ۲۰۰ میلی‌متر تا ۲۲ درصد نسبت به دریچه کشویی لبه‌تیز افزایش می‌یابد. این نتیجه نشان می‌دهد که با افزایش ضریب فشردگی (شکل ۷)، عمق پایاب تا میزان مشخصی که ذکر شد افزایش می‌یابد در حالی که جریان آزاد باقی می‌ماند. شکل (۷) نشان می‌دهد که استفاده از استوانه در لبه دریچه باعث کاهش قابل ملاحظه‌ای در میزان فشردگی جریان در زیر دریچه می‌شود و ظرفیت عبوری جریان افزایش می‌یابد. دلیل این امر را می‌توان این‌طور ذکر نمود که به‌کارگیری استوانه در انتهای دریچه باعث منظم‌تر شدن خطوط جریان عبوری از دریچه شده و درنتیجه ضریب فشردگی این نوع دریچه درمقایسه با دریچه لبه‌تیز افزایش قابل ملاحظه‌ای داشته‌است. این امر یکی از مزیت‌های دریچه استوانه‌ای می‌باشد، چرا که با آزاد نگه‌داشتن شرایط جریان امکان استغراق و درنتیجه امکان افزایش بار آبی بالادست و به‌تبع سرریز شدن آب در قسمت بالادست دریچه

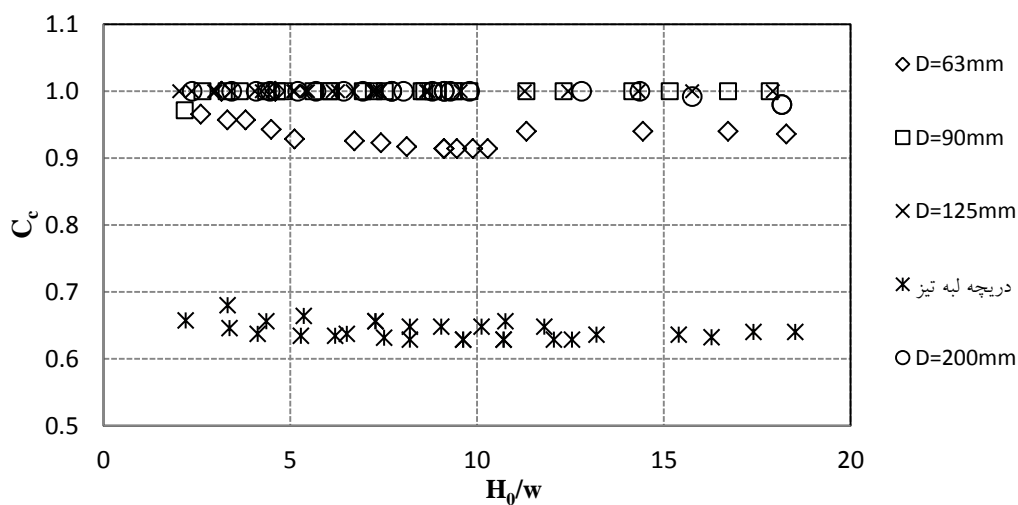
شکل‌های (۸) و (۹) به‌ترتیب منحنی تشخیص جریان و ضریب فشردگی را برای دریچه با لبه نیم‌استوانه‌ای درمقایسه با دریچه لبه‌تیز نشان می‌دهند. باتوجه به شکل (۸) می‌توان دریافت که همانند آنچه درمورد دریچه‌هایی با استوانه کامل دیده‌شد، به‌کارگیری نیم‌استوانه باعث آزاد نگه داشتن بیشتر جریان پس از دریچه می‌شود. با این حال اختلاف در نتایج منحنی تشخیص جریان در دریچه‌هایی با سه نیم‌استوانه ۶۳ و ۹۰ و ۱۲۵ میلی‌متری بسیار کم است و این امر به‌دلیل اختلاف ناچیز در ضریب فشردگی این سه نوع دریچه می‌باشد. همان‌طور که در شکل (۸) دیده می‌شود، برای دامنه H_0/W از ۴ تا ۱۸، $Y_{t(max)}/W$ به‌ترتیب برای دریچه‌های نیم‌استوانه‌ای ۶۳ میلی‌متر تا ۱۶ درصد و برای دریچه‌های نیم‌استوانه‌ای ۹۰، ۱۲۵ و ۲۰۰ میلی‌متری تا ۲۲ درصد نسبت به دریچه کشویی لبه‌تیز افزایش می‌یابد. این نتیجه نشان می‌دهد که با افزایش ضریب فشردگی (کاهش میزان فشردگی جریان پس از دریچه)، عمق پایاب می‌تواند تا میزان مشخصی که ذکر شد افزایش یابد درحالی‌که جریان آزاد باقی بماند. از نظر کاربردی این امر می‌تواند منجر به عدم افزایش بارآبی در بالادست دریچه شود و درنتیجه برای کانال می‌توان از ارتفاع آزاد کمتر استفاده کرد. همچنین باعث کاهش احتمال سرریز شدن آب و اتلاف آن می‌گردد. باتوجه به برابری افزایش درصد‌های نسبت $Y_{t(max)}/W$ در دریچه‌های نیم‌استوانه‌ای و استوانه‌ای کامل با قطرهای برابر در شکل‌های (۶) و (۸)، می‌توان پی برد که فقط نیم‌استوانه قرار گرفته در قسمت بالادست دریچه تأثیری بر شرایط جریان در حالت آزاد داشته‌است و این نیم‌استوانه باعث بهبود شرایط جریان شده‌است.



شکل ۷ تغییرات ضریب فشردگی دریچه‌هایی با استوانه لبه کامل و دریچه لبه تیز



شکل ۸ منحنی تشخیص شرایط جریان برای دریچه‌هایی با لبه نیم‌استوانه و دریچه لبه تیز



شکل ۹ تغییرات ضریب فشردگی دریچه‌هایی با لبه نیم‌استوانه و دریچه لبه تیز

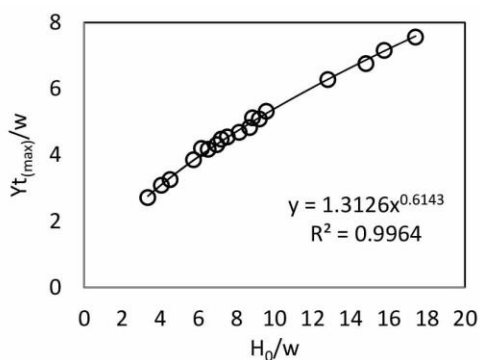
استوانه‌ای، در یک بازشدگی یکسان، ظرفیت دبی عبوری نیز در آنها در مقایسه با دریچه کشویی لبه تیز بیشتر خواهد بود که یک مزیت برای دریچه‌های کشویی با لبه استوانه‌ای محسوب می‌شود. به عبارتی می‌توان با افزایش کم در بازشدگی دریچه، ظرفیت دبی عبوری را به مقدار قابل ملاحظه‌ای افزایش داد.

در شکل‌های (۱۱) و (۱۲) برآزش داده‌های آزمایشگاهی به منظور تعیین روابطی برای تشخیص شرایط جریان به ترتیب برای دریچه‌های کشویی با لبه استوانه‌ای کامل و دریچه‌های کشویی با لبه نیم‌استوانه در این دریچه‌ها نمایش داده شده است. در این شکل‌ها نماد x بیانگر پارامتر بی‌بعد H_0/w و نماد y بیانگر پارامتر بی‌بعد $Y_{t(max)}/W$ است. همان‌طور که در شکل‌های (۱۱) و (۱۲) دیده می‌شود روابط برآزش داده شده از دقت بالایی برخوردار می‌باشند و می‌توان از این روابط در تشخیص شرایط جریان و در نتیجه تعیین مقدار دبی عبوری از این نوع دریچه‌ها با توجه به شرایط جریان و در نهایت مدیریت بهتر شبکه توزیع و انتقال آب بهره برد.

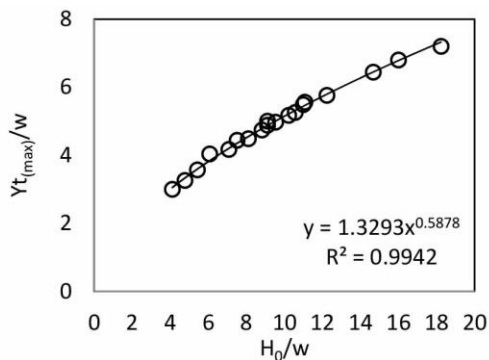
همان‌طور که در شکل‌های (۶) و (۸) دیده می‌شود، از بین دریچه‌های نیم‌استوانه‌ای و استوانه‌ای کامل، داده‌های مربوط به دریچه با استوانه با قطر ۶۳ میلی‌متر از نظر نسبت $Y_{t(max)}/W$ ، پایین‌تر از سایر دریچه‌های مشابه قرار گرفته است و این بدین معناست که در دریچه نیم‌استوانه‌ای و استوانه‌ای کامل ۶۳ میلی‌متر نسبت به دیگر دریچه‌های استوانه‌ای در شرایط یکسان (نسبت بار آبی بالادست به بازشدگی یکسان) امکان تشکیل جریان مستغرق پس از این دریچه بیشتر است. این امر به دلیل تأثیر کمتر استوانه ۶۳ میلی‌متری بر روی خطوط جریان بالادست دریچه است. می‌توان با توجه به شکل‌های (۷) و (۹) که نشان‌دهنده ضریب فشردگی کمتر دریچه‌های نیم‌استوانه‌ای و استوانه‌ای کامل ۶۳ میلی‌متر در مقایسه با دیگر دریچه‌های استوانه‌ای است به این امر پی برد. شکل (۱۰) وضعیت جریان عبوری از دریچه کشویی نیم‌استوانه ۲۰۰ میلی‌متر را نشان می‌دهد. عدم فشردگی پس از دریچه در شکل (۱۰) قابل مشاهده است. به عبارت دیگر ضریب فشردگی تقریباً برابر با یک است. به دلیل ضریب فشردگی بالا در دریچه‌های کشویی با لبه



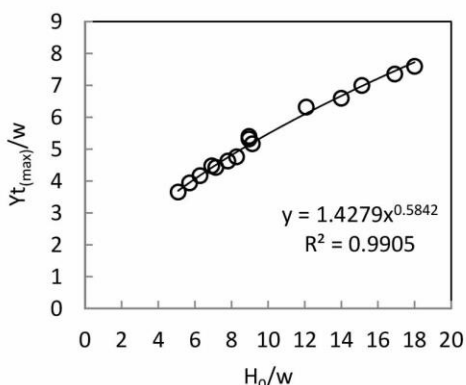
شکل ۱۰ ضریب فشردگی برابر با یک در دریچه نیم‌استوانه‌ای با قطر ۲۰۰ میلی‌متر



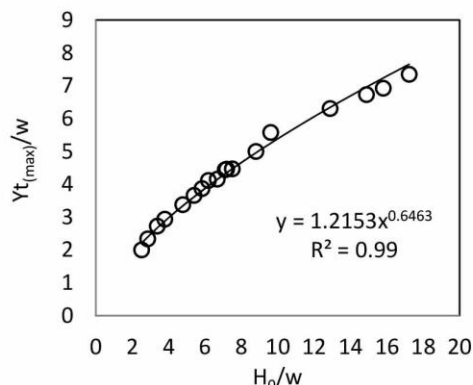
(ب)



(الف)

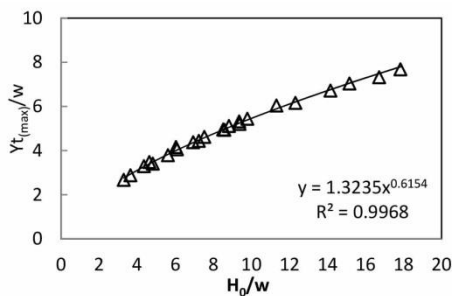


(ت)

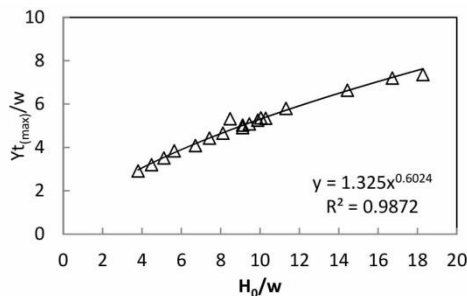


(پ)

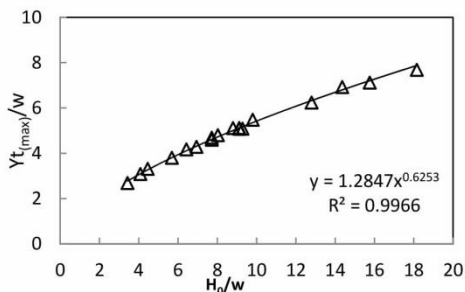
شکل ۱۱ برازش داده‌های آزمایشگاهی درجه‌های کشویی استوانه‌ای کامل برای منحنی تشخیص شرایط جریان، شکل‌های (الف)، (ب)، (پ)، (ت) به ترتیب مربوط به درجه‌های کشویی استوانه‌ای کامل با قطرهای ۶۳، ۹۰، ۱۲۵، ۲۰۰ میلی‌متر



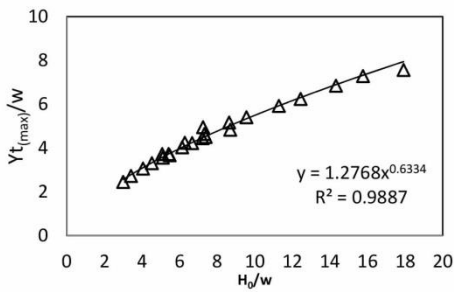
(ب)



(الف)



(ت)

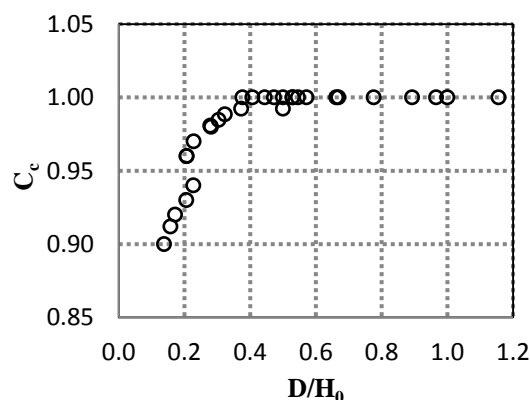


(پ)

شکل ۱۲ برازش داده‌های آزمایشگاهی درجه‌های کشویی نیم‌استوانه‌ای برای منحنی تشخیص شرایط جریان، شکل‌های (الف)، (ب)، (پ)، (ت) به ترتیب مربوط به درجه‌های کشویی استوانه‌ای کامل با قطرهای ۶۳، ۹۰، ۱۲۵، ۲۰۰ میلی‌متر

عبوری دریچه‌های کشویی با لبه استوانه‌ای و سپس ضریب فشردگی و منحنی‌های تشخیص شرایط جریان که یکی از پارامترهای مهم مرتبط با دریچه‌های کشویی نیم‌استوانه‌ای و استوانه‌ای کامل است، پرداخته شد. نتایج آزمایش‌ها نشان داد که با تغییر در شکل دریچه، ضریب فشردگی تغییر قابل توجهی خواهد کرد که این امر باعث تغییر در منحنی تشخیص جریان می‌شود و برای دریچه‌هایی با استوانه‌ای به قطر ۹۰ میلی‌متر و بیشتر، عملاً مقطع فشردگی بعد از دریچه وجود نخواهد داشت، لذا ضریب فشردگی برابر با یک است. در شرایط یکسان آزمایش، دریچه‌ای که باعث افزایش بیشتر ضریب فشردگی شده است، عمق پایاب بیشتری را می‌تواند تحمل کند، در حالی که جریان پس از دریچه آزاد است. این وضعیت یک مزیت مهم برای این گونه دریچه‌ها محسوب می‌شود چرا که با جلوگیری از استغراق جریان باعث جلوگیری از افزایش بار آبی بالادست می‌شود و امکان سرریز شدن در قسمت بالادست دریچه کاهش می‌یابد که این امر باعث جلوگیری از اتلاف آب می‌شود. روابطی با دقت بالایی برای تشخیص شرایط جریان در دریچه‌های مورد آزمایش در این پژوهش با برآزش بر داده‌های آزمایشگاهی ارائه شد. در نهایت نیز با بررسی داده‌های آزمایشگاهی معلوم شد برای دستیابی به ضریب فشردگی برابر با یک، حداقل قطر استوانه به کاررفته در لبه دریچه می‌بایست برابر $0/4$ بار آبی بالادست دریچه $(0/4 H_0)$ باشد. با توجه به نتایج گرفته شده می‌توان با تغییر اندک در ساختار دریچه کشویی باعث افزایش عملکرد هیدرولیکی آن شد.

شکل (۱۳)، نشان‌دهنده تغییرات ضریب فشردگی در دریچه‌های کشویی با لبه استوانه‌ای کامل در برابر نسبت اندازه قطر به بار آبی بالادست است. در این شکل از داده‌های ۴ دریچه کشویی با لبه استوانه‌ای کامل با اندازه‌های ۶۳ و ۹۰ و ۱۲۵ و ۲۰۰ میلی‌متر در بارهای آبی بالادست مختلف استفاده شده است. همان‌طور که دیده می‌شود، در نسبت قطر استوانه به بار آبی بالادست (D/H_0) برابر با $0/4$ ، تغییرات ضریب فشردگی ناچیز و تقریباً برابر با یک شده است. از طرفی، در D/H_0 برابر با $0/4$ ، مقطع فشردگی پس از دریچه وجود نخواهد داشت و ظرفیت دبی عبوری به بیشترین مقدار در شرایط جریان آزاد رسیده است. به عبارت دیگر، برای دست یافتن به ضریب فشردگی برابر با یک می‌بایست قطر استوانه به کاررفته در لبه دریچه حداقل برابر با $0/4H_0$ باشد.



شکل ۱۳ تغییرات ضریب فشردگی در مقابل نسبت اندازه قطر استوانه به کاررفته در لبه دریچه به بار آبی بالادست در دریچه‌های کشویی با لبه استوانه‌ای کامل

نتیجه‌گیری

در این پژوهش ابتدا به بررسی آزمایشگاهی ضریب دبی

مراجع

1. Henderson, F. M., "Open Channel Flow", Macmillan Publishing Co., New York, (1966).

2. Rajaratnam, N., and Subramanya, K., "Flow Equation for the Sluice Gate", *Journal of Irrigation and Drainage Engineering*, Vol. 93(3), pp.167-186, (1967).
3. Belaud, G., and Cassan, L., and Baume, J.P., "Calculation of Contraction Coefficient under Sluice Gates and Application to Discharge Measurement", *Journal of Hydraulic Engineering*, Vol. 135(12), pp.1086-1091, (2009).
4. Montes, J.S., "Irrotational Flow and Real Fluid Effects under Planar Sluice Gates", *Journal of Hydraulic Engineering*, Vol. 123(3), pp. 219-232, (1997).
5. Tel, J., "Discharge Relations for Radial Gates", Master of Science Thesis, Delft Technical University, Delft, The Netherlands (2000).
6. محمدی، م. ح.، و بیرامی، م. ک.، «تخمین دبی جریان از زیر دریچه‌های کشویی و قطاعی با جریان آزاد». نشریه آب و فاضلاب (۲)، صص. ۹۴-۱۰۱، (۱۳۸۹).
7. Bos, M.G., "Discharge Measurement Structures", Wageningen, the Netherlands, ILRI, (1989).
8. Swamee, PK., "Sluice-gate Discharge Equations", *Journal of Irrigation and Drainage Engineering*, Vol. 118(1), pp. 56-60, (1992).
9. Yen, J.F., and Lin, C.H., and Tsai, C.T., "Hydraulic Characteristics and Discharge Control of Sluice Gates", *Journal of the Chinese institute of engineers*, Vol. 24(3), pp. 301-310, (2001).
10. Lin, CH., Yen, J.F., Tsai, CT., "Influence of Sluice Gate Contraction Coefficient on Distinguishing Condition", *Journal of Irrigation and Drainage Engineering*, Vol. 128(4), pp.249-252, (2002).
11. Wahl, T.L., Clemmens, A.J., "Applying the Energy–Momentum Method to Radial Gate Discharge Calibration", In World Water & Environmental Resources Congress. Alaska, pp. 1-10, (2005).
12. Buyalski, C.P., "Discharge Algorithms for Canal Radial Gates", Technical Report REC-ERC-83-9. U.S. Bureau of Reclamation, Denver, (1983).
13. Bijankhan, M., Kouchakzadeh, S., Bayat, E., "Distinguishing Condition Curve for Radial Gates", *Flow Measurement and Instrumentation*, Vol. 22(5), pp. 500-506, (2011).
14. Clemmens, A.J., Strelkoff, T.S., and Replogle, J.A., "Calibration of Submerged Radial Gates", *Journal of Hydraulic Engineering*, Vol. 129(9), pp.680-687, (2003).
15. Ferro, V., "Simultaneous Flow over and under a Gate", *Journal of Irrigation and Drainage Engineering*, Vol. 126(3), pp.190-193, (2000).
16. Ansar, M., "Discussion of 'Simultaneous Flow over and under a Gate' by V. Ferro. *Journal of Irrigation and Drainage Engineering*, Vol. 127(5), pp.325-326, (2001).
17. Habibzadeh, A., Vatankhah, A., and Rajaratnam, N., "Role of Energy Loss on Discharge Characteristics of Sluice Gates", *Journal of Hydraulic Engineering*, Vol. 137(9), pp.1079-1084, (2011).
18. ابریشمی، ج. و حسینی، س.م.، «هیدرولیک کانال های باز»، مؤسسه چاپ و انتشارات آستان قدس رضوی، (۱۳۷۵).

19. Bijankhan, M., and Kouchakzadeh, S., "Discussion of Benchmark of Discharge Calibration Methods for Submerged Sluice Gates", by Carlos Sepúlveda, Manuel Gómez, and José Rodellar, *Journal of Irrigation and Drainage Engineering*, Vol. 137(1), pp. 56-57, (2011).